

МНОЖЕСТВЕННОЕ РОЖДЕНИЕ ЗАРЯЖЕННЫХ ЧАСТИЦ В π^-p - И π^+n -ВЗАИМОДЕЙСТВИЯХ ПРИ ИМПУЛЬСЕ 40 Гэв/c

В. Г. ГРИШИН, С. П. КУЛЕШОВ, В. А. МАТВЕЕВ,
А. Н. СИСАГЯН, Г. ЯНЧО

ОБЪЕДИНЕННЫЙ ИНСТИТУТ ЯДЕРНЫХ ИССЛЕДОВАНИЙ
(Поступила в редакцию 24 июля 1972 г.)

Предложена модель для совместного описания множественного рождения заряженных частиц в π^-p - и π^+n -взаимодействиях. Сравнение модели с экспериментальными данными при $p = 40$ Гэв/c дает хорошее согласие. Определены значение среднего числа рожденных пар π^\pm -мезонов ($\alpha = 1,81 \pm 0,02$) и коэффициент перезарядки нуклона ($\beta = 0,36 \pm 0,04$). Предсказывается одинаковость распределения событий по заряженным вторичным частицам, например, для π^+p - и π^-p -, pp - и $\bar{p}p$ -соударений.

1. Введение

В ряде работ последнего времени при попытке теоретического объяснения закономерностей процессов сильного взаимодействия в пределе высоких энергий была высказана идея об адронах как сложных системах с внутренними степенями свободы. Укажем на дроблетную [1] и партонную [2] модели, модель когерентных состояний [3].

В модели когерентных состояний предполагается, что состояния адронов в процессах сильного взаимодействия при высоких энергиях соответствуют когерентным состояниям сложной системы, спектр возбуждений которой в простейшем случае может быть описан четырехмерным релятивистским осциллятором. Как примечательный факт подчеркнем, что предсказания модели когерентных состояний находятся в качественном согласии с вычислениями в рамках моделей квантовой теории поля при использовании приближений, реализующих концепцию прямолинейных путей [4].

Отметим, что на когерентную природу взаимодействия адронов указывают также недавние работы по теории сильной связи [5] и по динамической составной модели [6].

Подход, основанный на модели когерентных состояний и концепции прямолинейных путей, был применен для изучения самых общих закономерностей множественного рождения частиц при высоких энергиях [2, 4, 7-9].

В последнее время в связи с проведением экспериментов на Серпуховском ускорителе появилась уникальная возможность проверки моделей множественного рождения частиц при высокой энергии. Однако для сравнения теории непосредственно с экспериментом необходим учет топической структуры и заряда частиц, который обычно игнорируется при качественном рассмотрении вопроса.

В настоящей работе предлагается попытка конкретного рассмотрения картины множественного рождения частиц при высоких энергиях, базирующейся на некоторых результатах и представлениях, полученных при изучении модели когерентных состояний и теоретико-полевых моделей в рамках приближения прямолинейных путей.

2. Модель множественного рождения пионов

В настоящее время имеется ряд модельных и эмпирических подходов [10-13] к описанию зарядовых соотношений для процессов множественного рождения частиц.

Наибольшее распространение при анализе экспериментальных данных получила так называемая модель Вовг-1 [10], опирающаяся на предположение о статистической независимости рождения пар заряженных частиц. Однако, как показывает сравнение с этой моделью экспериментальных данных, полученных в Серпухове на двухметровой пропорочной камере при облучении ее π^- -мезонами с энергией 40 Гэв [14], среднее число пар заряженных мезонов в π^-p - и π^-n -взаимодействиях оказывается различным, что, вообще говоря, противоречит представлениям об изоспиновой независимости.

Рассмотрим такую картину множественного рождения частиц в π^-p - и π^-n -взаимодействиях, при которой процесс идет путем статистически независимого рождения пар ($\pi^+\pi^-$)¹⁾. Таким образом, имеет место пуассоновский характер распределения по числу пар заряженных частиц. Согласно предположению о статистической независимости средние числа этих пар не должны зависеть от типа сталкивающихся (лидирующих) частиц: таким образом, они являются одинаковыми для π^-p - и π^-n -столкновений. Кроме того, предположим, что лидирующий нуклон в процессе столкновения может диссоциировать на π -мезон и нуклон с локальным сохранением заряда.

В этой картине мы имеем дело со следующими каналами диссоциации лидирующего нуклона:

$$\left. \begin{array}{l} 1) N \rightarrow N \\ 2) N \rightarrow N\pi^0 \end{array} \right\} \text{ с вероятностью канала } \alpha,$$

$$3) N \rightarrow N'\pi^+ \text{ с вероятностью канала } \beta.$$

Условие сохранения вероятности дает соотношение

$$\alpha + \beta = 1. \quad (1)$$

В соответствии с исходными предположениями распределения по множественности примут следующий вид: для π^-p -столкновений

$$W_{n_{\pm}}(\pi^-p) = P_{n_{\pm}(n_{\pm}-2)}(a) \quad (2)$$

и для π^-n -столкновений

$$W_{n_{\pm}}(\pi^-n) = \alpha P_{n_{\pm}(n_{\pm}-1)}(a) + \beta P_{n_{\pm}(n_{\pm}-2)}(a), \quad (3)$$

где a — среднее число пар $\pi^+\pi^-$, а $P_n(A)$ — пуассоновский фактор $P_n(A) = e^{-A}(A^n/n!)$. Среднее число заряженных частиц, как следует из формул (2) и (3), может быть представлено в виде

$$\langle n_{\pm} \rangle = \langle l_{\pm} \rangle + 2a, \quad (4)$$

где

$$\langle l_{\pm} \rangle_{\pi^-p} = 2, \quad (5)$$

$$\langle l_{\pm} \rangle_{\pi^-n} = \alpha + 3\beta = 1 + 2\beta. \quad (6)$$

Здесь l_{\pm} — число заряженных частиц среди продуктов диссоциации сталкивающихся частиц. Отсюда

$$\delta n_{\pm} = \langle n_{\pm} \rangle_{\pi^-p} - \langle n_{\pm} \rangle_{\pi^-n} = \alpha - \beta = 1 - 2\beta. \quad (7)$$

Из найденных формул нетрудно вычислить дисперсии ($\sqrt{D} = \sqrt{\langle n^2 \rangle - \langle n \rangle^2}$)

$$D_{\pi^-p} = 4a, \quad (8)$$

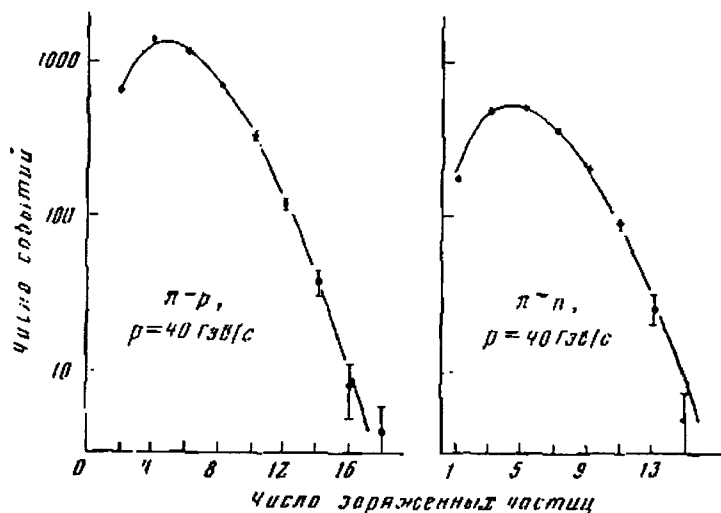
$$D_{\pi^-n} = 4a + 4\alpha\beta. \quad (9)$$

¹⁾ Рождение странных частиц для простоты не рассматривается.

Предложенная здесь простая картина может быть использована для сравнения с экспериментальными данными. В следующем разделе приводится ее сравнение с экспериментальными данными, полученными в Серпухове на двухметровой пропановой камере.

3. Сравнение модели с экспериментальными результатами по π^-p - и π^-n -соударениям при $p = 40 \text{ Гэв/с}$

Экспериментальные результаты, полученные при $p = 40 \text{ Гэв/с}$, по распределению событий по множественности вторичных заряженных частиц в π^-p -соударениях хорошо описываются моделью Вонга-I [14]. Другие модели (Вонг-II, Пуассон и т. д.) полностью исключаются. Результаты



фитирования распределений по множественности (Вонг-I) представлены в таблице. Как видно из таблицы, π^-n -взаимодействия описываются хуже. С другой стороны, в модели Вонга-I $a_{\pi^+} = \frac{1}{2}(\bar{n}_{\pi^+} - 2) = 1,81 \pm 0,02$ и $a_{\pi^-} = \frac{1}{2}(\bar{n}_{\pi^-} - 1) = 2,16 \pm 0,04$, т. е. средние числа пар ($\pi^+\pi^-$) различны.

В связи с этим для совместного описания π^-p - и π^-n -взаимодействий использовалась модель, описанная в предыдущем разделе. В ней среднее

Таблица

Тип взаимодействия	Число событий	\bar{n}_{\pm}	\sqrt{D}	χ^2	Степень свободы
π^-p	4400	$5,62 \pm 0,04$	2,75	8	8
π^-n	1860	$5,32 \pm 0,07$	2,82	13	7
π^-n	Фиг по предлагаемой модели			8,5	7

число пар π^+ -мезонов (a) одинаково для π^-p - и π^-n -взаимодействий и непосредственно определяется из π^-p -соударений (4), (5). В нашем случае $a = 1,81 \pm 0,02$. Параметры α и β можно определить путем подгонки распределения (3) для π^-n -соударений при той же энергии. Результаты этого сравнения дали следующие значения:

$$\alpha = 0,64 \pm 0,06, \quad \beta = 0,36 \pm 0,04.$$

С этими значениями параметров α и β уравнение (7) дает

$$\delta n_{\pm} = 0,28 \pm 0,07,$$

что совпадает с экспериментальной величиной $0,30 \pm 0,08$. Уровень согласия теоретических и экспериментальных распределений для π^-p -взаимодействий оказался таким же, как и для π^-p -взаимодействий (см. таблицу и рисунок ²⁾).

Таким образом, хорошее согласие предложенной выше модели с экспериментом позволяет сделать следующие выводы:

а) пары ($\pi^+\pi^-$)-мезонов, образованные в π^-p - и π^-n -соударениях, имеют одинаковые характеристики;

б) вероятность перезарядки нуклона при $p = 40$ Гэв/с оказалась равной $0,36 \pm 0,04$;

в) одинаковые распределения по множественности заряженных частиц должны быть, например, в π^+p - и π^-n -, pp - и $\bar{p}p$ -взаимодействиях.

Мы признательны за полезные обсуждения Л. А. Слепченко и А. Н. Тавхелидзе.

Литература

- [1] J. Benecke, T. T. Chou, C. N. Yang, E. Yen. Phys. Rev., 188, 2159, 1970. C. N. Yang. Talk at the XV Intern. Conf. on High Energy Physics, Kiev, 1970.
- [2] R. P. Feynman. Phys. Rev. Lett., 23, 1415, 1969.
- [3] V. A. Matveev, A. N. Tavkhelidze. Preprint E2-5141, JINR, 1970. V. A. Matveev. Talk at the XV Intern. Conf. on High Energy Physics, Kiev, 1970.
- [4] B. M. Barbashov, S. P. Kuleshov, V. A. Matveev, V. N. Pervushin, A. N. Sissakian, A. N. Tavkhelidze. Phys. Lett., 33B, 484, 1970.
- [5] Е. П. Солодовникова, А. Н. Тавхелидзе, О. А. Хрусталева. ТМФ, 10, 162, 1972.
- [6] П. Н. Боголюбов. Препринт P2-5684, ОИЯИ, 1971.
- [7] B. Barbashov, S. Kuleshov, V. Matveev, V. Pervushin, A. Sissakian. Nuovo Cim., 4A, 731, 1971.
- [8] B. Barbashov, S. Kuleshov, V. Matveev, A. Sissakian, A. Tavkhelidze. Nuovo Cim., 4A, 182, 1971.
- [9] S. P. Kuleshov, V. A. Matveev, A. N. Sissakian. Preprint E2-5896, JINR, 1971; IHR-TP-72-3 preprint, Zagreb, 1972.
- [10] C. P. Wang. Nuovo Cim., 64A, 546, 1969; Phys. Rev., 180, 1463, 1969; Phys. Lett., 30B, 115, 1969.
- [11] O. Czyzewski, K. Rybicki. Report 703/PH, Institute of Nuclear Physics, Cracow, 1970.
- [12] G. F. Chew, A. Pignotti. Phys. Rev., 176, 2112, 1968.
- [13] В. Г. Гришин. Препринт P2-6357, ОИЯИ, 1972.
- [14] B.—B.—C.—D.—H.—S.—S.—T.—T.—U.—V.—W. Collabor. Preprint P1-6277, JINR; Phys. Lett., 39B, 571, 1972.

MULTIPLE PRODUCTION OF CHARGED PARTICLES IN THE π^-p AND π^-n INTERACTIONS AT 40 GeV/c

V. G. GRISHIN, S. P. KULESHOV, V. A. MATVEEV,
A. N. SISSAKIAN, G. YANCSO

The model for simultaneous description of multiple production of charged particles in π^-p and π^-n interactions is presented. Comparison of the model with the 40 GeV/c data shows a good agreement. The average number α of the π^\pm -meson pairs produced is determined ($\alpha = 1.81 \pm 0.02$) as well as the coefficient β of the nucleon charge exchange ($\beta = 0.36 \pm 0.04$). The distribution of events over the secondary charged particles is predicted to be the same for e.g., π^+p and π^-p , pp and $\bar{p}p$ collisions.

²⁾ При фитировании варьировались также все параметры. Результаты в пределах ошибок совпали.